

строение: Теория и конструирование. Минск: Выш. шк., 1983, вып. 18, с. 24—31. 7. ОН 025-319-68. Автомобили. Оценочные параметры управляемости. Методы определения. — В кн.: Автомобилестроение: Автомобили, прицепы и полуприцепы. М.: Изд-во стандартов, 1974, т. 1, ч. 1, с. 107—170. 8. Фурунжиев Р.И. Вычислительная техника и ее применение. — Минск: Выш. шк., 1975. — 400 с.

УДК 629.11.012.3.001.24

Р.И. ФУРУНЖИЕВ, д-р техн.наук,
В.А. КИМ, канд.техн.наук,
Г.А. КОЛОСОВ (ММИ)

К ВОПРОСУ О КРИТЕРИИ КУРСОВОЙ УСТОЙЧИВОСТИ ДВИЖЕНИЯ ТЯГОВЫХ И ТРАНСПОРТНЫХ МАШИН НА УПРУГИХ ПНЕВМАТИКАХ

На современном этапе теория устойчивости движения в достаточной степени разработана только для двухосных автомобилей, результаты которой не могут быть распространены на многоосные автомобили [1].

Как известно, задачи исследования устойчивости можно решать двумя способами: 1) анализом аналитического решения дифференциальных уравнений движения и 2) качественным исследованием при помощи функции Ляпунова. Следует заметить, что аналитическое решение практически получить невозможно, а методика строгого построения функции Ляпунова в общем случае не найдена [1].

В данной работе предлагается новый критерий для исследования курсовой устойчивости движения любого экипажа на пневматиках с использованием ЭЦВМ.

Пусть q_1, \dots, q_k — обобщенные координаты многоопорного автомобиля; $\xi_{1l}, \dots, \xi_{pl}, \xi_{1p}, \dots, \xi_{ip}$ — параметры боковой деформации шин; n — число мостов.

В соответствии с [2] и [3] составляются уравнения кинематических связей и динамические уравнения движения. Уравнения кинематических связей первого порядка представляются в продифференцированном один раз по времени виде. Таким образом, дифференциальные уравнения движения многоопорного автомобиля записываются в виде системы $k + 2n$ уравнений с $k + 2n$ неизвестными:

$$a_{j+2i,j+2i} \ddot{q}_s + b_{j+2i,j+2i}^l \ddot{\xi}_{il} + b_{j+2i,j+2i}^p \ddot{\xi}_{ip} = d_{j+2i}, \quad (1)$$

где $j = 1, \dots, k$; $i = 1, \dots, n$.

Для исследования курсовой устойчивости автомобиля составляется выражение

$$K = \sum_{i=1}^n (K_{O_{il}} - K_{C_{il}})^2 + \sum_{i=1}^n (K_{O_{ip}} - K_{C_{ip}})^2 . \quad (2)$$

Здесь в соответствии с [2]: $K_{O_{il}}$, $K_{O_{ip}}$ — кривизна линий качения левого и правого колес i -го моста; $K_{C_{il}}$, $K_{C_{ip}}$ — кривизна проекций линий движения центров колес на опорную плоскость; O_{il} , O_{ip} — центры пятен контактов колес; C_{il} , C_{ip} — проекции центров колес на опорную плоскость. Пусть оси координат O_{xyz} связаны с опорной плоскостью, причем ось O_z перпендикулярна ей.

Кривизна, входящая в выражение (1), определяется по известной формуле

$$K_i = \frac{\dot{x}_i \ddot{y}_i - \ddot{x}_i \dot{y}_i}{(\dot{x}_i^2 + \dot{y}_i^2)^{3/2}} . \quad (3)$$

Координаты точек O_{il} , O_{ip} , C_{il} , C_{ip} при помощи уравнений геометрических связей [3] выражаются через обобщенные координаты, геометрические параметры и характеристики автомобиля. В результате преобразований с учетом геометрических связей и равенства (3) выражение (2) приобретет вид

$$K = \sum_{i=1}^k A_j \ddot{q}_j^2 + \sum_{i=1}^n (B_{il} \xi_{il}^2 + B_{ip} \xi_{ip}^2) + D , \quad (4)$$

где A_j , B_{il} , B_{ip} , D — переменные величины, не содержащие вторых производных от обобщенных координат и параметров деформации.

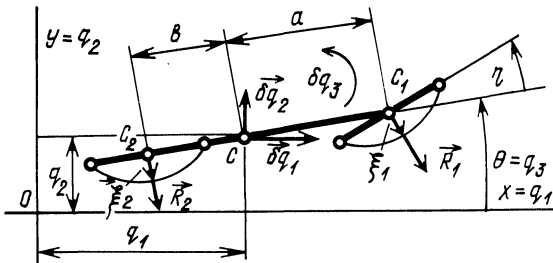


Рис. 1. Расчетная схема.

Затем в уравнение (4) подставляются выражения \ddot{q}_i , ξ_{il} , ξ_{ip} , найденные из системы (1). Полученное выражение для K позволяет исследовать курсовую устойчивость автомобиля в зависимости от характеристик шин, подвески, массово-геометрических параметров автомобиля и др. Предлагаемый метод нетрудно распространить на случай любого конечного числа параметров деформаций шин и для различных опорных поверхностей.

В качестве примера исследуется установившееся движение плоской велосипедной модели с передними управляемыми колесами (рис. 1).

Уравнения кинематических связей для рассматриваемой модели имеют следующий вид:

$$\begin{cases} \dot{q}_1 \sin(q_3 + \eta) - \dot{q}_2 \cos(q_3 + \eta) - a\dot{q}_3 \cos \eta - \dot{\xi}_1 = 0; \\ \dot{q}_1 \sin q_3 - \dot{q}_2 \cos \dot{q}_3 + b\dot{q}_3 - \dot{\xi}_2 = 0. \end{cases} \quad (5)$$

Динамические уравнения движения в упрощенном виде

$$\begin{cases} m\ddot{q}_1 = (c_1 \xi_1 - \mu_1 \dot{\xi}_1) \sin(q_3 + \eta) + (c_2 \xi_2 - \mu_2 \dot{\xi}_2) \sin q_3; \\ m\ddot{q}_2 = -(c_1 \xi_1 - \mu_1 \dot{\xi}_1) \cos(q_3 + \eta) - (c_2 \xi_2 - \mu_2 \dot{\xi}_2) \cos q_3; \\ J\ddot{q}_3 = -a(c_1 \xi_1 - \mu_1 \dot{\xi}_1) \cos \eta + b(c_2 \xi_2 - \mu_2 \dot{\xi}_2), \end{cases} \quad (6)$$

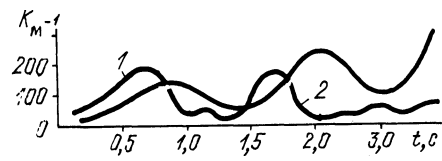
где q_1, q_2, q_3 — обобщенные координаты (рис. 1); η — относительный угол поворота управляемого колеса; c_1, c_2 — коэффициенты боковой жесткости шин; μ_1, μ_2 — коэффициенты демпфирования шин в боковом направлении; m_0 — масса кузова автомобиля; m_1, m_2 — массы колес; J_0 — центральный момент инерции кузова относительно вертикальной оси; J_1, J_2 — диаметральные моменты инерции колес; a, b — расстояния от мостов до центра тяжести (рис. 1);

$$J = m_1 a^2 + m_2 b^2 + J_0 + J_1 + J_2; \quad m = m_0 + m_1 + m_2.$$

С помощью уравнений (5) и (6) из выражения (4) можно исключить вторые производные. Полученная функция используется для качественного исследования курсовой устойчивости движения.

Рис. 2. График функции $K=K(t)$:

- 1 — при $c_1 = 30 \cdot 10^6$ Н/м, $c_2 = 10 \cdot 10^6$ Н/м, $\mu_1 = \mu_2 = 10 \cdot 10^3$ Н·с/м;
2 — при $c_1 = 10 \cdot 10^6$ Н/м, $c_2 = 30 \cdot 10^6$ Н/м, $\mu_1 = \mu_2 = 10 \cdot 10^3$ Н·с/м.



Исходные данные к расчету функции K :

$a = 1,96 \text{ м}$; $b = 1,84 \text{ м}$; $m = 7500 \text{ кг}$; $J = 17270 \text{ кг}\cdot\text{м}^2$; $v = 15 \text{ м}/\text{с}$ — скорость автомобиля; $\eta = 0$; $q_{01} = a$; $\dot{q}_{01} = v$; $q_{02} = 0$; $\dot{q}_{02} = 1 \text{ м}/\text{с}$; $q_{03} = 0$; $\dot{q}_{03} = 5 \text{ с}^{-1}$; $\xi_{01} = 0,01 \text{ м}$; $\dot{\xi}_{01} = 0$; $\xi_{02} = 0,01 \text{ м}$; $\dot{\xi}_{02} = 0$; $\Delta t = 0,1 \text{ с}$ — шаг интегрирования.

Из анализа результатов моделирования на ЭЦВМ установлено, что при соотношениях боковых жесткостей $c_1 > c_2$ и расположении центра масс системы ближе к задней оси функция K периодически убывает к некоторому значению (рис. 2). При обратном соотноше-

ний — $c_1 < c_2$ график функции представляет собой расходящийся процесс, т.е. система неустойчива (рис. 2).

При указанных выше соотношениях боковых жесткостей чувствительность рассматриваемой системы на воздействие управляемых колес значительно выше при $c_1 > c_2$, чем при $c_1 < c_2$. Полученные результаты не противоречат понятиям избыточной и недостаточной поворотливости автомобиля [4], если принять во внимание, что коэффициенты сопротивления боковому уводу шин пропорциональны коэффициентам боковой жесткости [4].

Сравнивая функции $K = K(t)$ для различных значений параметров автомобиля и исходя из ее физического смысла, можно утверждать, что движение автомобиля на упругих пневматиках тем устойчивее, чем монотоннее $K = K(t)$ приближается к некоторому оптимальному значению $K_{\text{опт}}$.

Полученный критерий может быть применен при оценке курсовой устойчивости автомобилей и тягачей на упругих пневматиках с любым числом осей. Исследование устойчивости движения по предлагаемому критерию позволит существенно облегчить оптимизацию параметров автомобилей и тягачей с целью улучшения устойчивости их движения.

ЛИТЕРАТУРА

1. Антонов Д.А. Теория устойчивости движения многоосных автомобилей. — М.: Машиностроение, 1978. — 216 с.
2. Уравнения кинематических связей для общего случая качения упругого пневматика по недеформируемой опорной поверхности/Р.И. Фурунжиев, Г.А. Колесов, В.А. Ким, Э.И. Ясюкович. — В кн.: Автотракторостроение: Автоматизированные системы управления мобильными машинами. Минск: Выш. шк., 1980, вып. 14, с. 41–45.
3. Колесов Г.А. Уравнения движения плоской модели двухосной тележки на пневматических колесах. — В кн.: Эффективность использования и обслуживания мелиоративной техники. Горки: БСХА, 1981, вып. 70, с. 76–81.
4. Литинов А.С. Управляемость и устойчивость автомобиля. — М.: Машиностроение, 1971. — 416 с.

УДК 629.113—585.2

А.В. ВОВК, В.В. ГЕРАЩЕНКО (ММИ)

ОЦЕНКА ДИНАМИЧЕСКИХ СВОЙСТВ СИСТЕМЫ АВТОМАТИЧЕСКОГО УПРАВЛЕНИЯ БЛОКИРОВКОЙ ГИДРОТРАНСФОРМАТОРА

Динамические свойства системы автоматического управления полностью определяются ее передаточной функцией, которая (при отсутствии шумов и при достаточной точности измерительных приборов) характеризуется результатами измерения реакции системы на входное воздействие произвольного типа. Однако качество ре-